

[文章编号] 1007-3949(2011)19-06-0479-04

· 实验研究 ·

二苯乙烯苷通过核因子 KB 信号通路抑制过氧化氢诱导的人脐静脉内皮细胞凋亡

龙石银, 高细强, 张彩平, 乔新惠, 黄良珠, 佟丽, 陈武哲, 田英

(南华大学生物化学与分子生物学教研室, 湖南省衡阳市 421001)

[关键词] 二苯乙烯苷; 人脐静脉内皮细胞; 细胞凋亡; 核因子 KB / IKB 信号通路

[摘要] 目的 研究二苯乙烯苷对过氧化氢诱导人脐静脉内皮细胞凋亡的保护作用, 探讨二苯乙烯苷是否通过核因子 KB 信号通路调节凋亡相关基因的表达来抑制细胞凋亡。方法 体外培养人脐静脉内皮细胞, 实验分为对照组、过氧化氢组和二苯乙烯苷组, 采用显微镜观察细胞形态, MTT 法检测细胞增殖率, 流式细胞术检测细胞凋亡率, Western blot 检测核因子 KB p65、IKB、bcl2 蛋白的表达。结果 过氧化氢能显著抑制内皮细胞增殖, 增加细胞凋亡率; 并增加核因子 KB p65 蛋白的表达, 降低 bcl2 和 IKB 蛋白的表达。二苯乙烯苷预处理后显著增加氧化损伤内皮细胞的增殖率, 并降低细胞凋亡率; 与过氧化氢组相比, 二苯乙烯苷组核因子 KB p65 蛋白的表达显著降低, bcl2 和 IKB 蛋白的表达显著升高 ($P < 0.01$)。结论 二苯乙烯苷对过氧化氢诱导人脐静脉内皮细胞凋亡具有保护作用, 其机制可能与其抑制核因子 KB / IKB 信号通路并上调 bcl2 蛋白的表达有关。

[中图分类号] R363

[文献标识码] A

Effects of 2, 3, 5, 4'-Tetrahydroxystilbene-2-O- β -D-Glucoside on Apoptosis of HUVEC Induced by H_2O_2 and the Mechanism Involved NF-KB Signaling Pathway

LONG ShiYin, GAO XiQiang, ZHANG CaiPing, QIAO XinHui, HUANG LiangZhu, TONG Li, CHEN WuZhe, and TIAN Ying

(Department of Biochemistry and Molecular Biology, University of South China, Hengyang, Hunan 421001, China)

[KEY WORDS] 2, 3, 5, 4'-Tetrahydroxystilbene-2-O- β -D-Glucoside; Human Umbilical Vein Endothelial Cell; Apoptosis; NF-KB / IKB Signaling Pathway

[ABSTRACT] **Aim** To investigate the protective effect of 2, 3, 5, 4'-tetrahydroxystilbene-2-O- β -D-glucoside (TSG) on human umbilical vein endothelial cells (HUVEC) apoptosis induced by H_2O_2 and further explore whether this effect is related to the NF-KB signaling pathway and the expression of apoptosis-related protein. **Methods** HUVEC were divided into three groups: control group, H_2O_2 group and TSG group. The proliferation and apoptosis rates of HUVEC were detected by MTT and flow cytometry respectively. The protein expression of NF-KB p65, IKB and bcl2 were assessed by Western blot. **Results** According to the MTT and flow cytometry, the proliferation rate of HUVEC decreased significantly compared with control group ($P < 0.01$), while the apoptosis rate increased obviously ($P < 0.01$) after treating with H_2O_2 . The proliferation rate of TSG pretreatment group increased significantly ($P < 0.01$) while the apoptosis rate decreased obviously ($P < 0.01$) compared with H_2O_2 group. Compared with H_2O_2 group, Western blot analysis revealed that the expression of NF-KB p65 was declined and the level of IKB and bcl2 were increased significantly after pretreated by TSG ($P < 0.01$). **Conclusions** TSG has a protective effect on the HUVEC apoptosis induced by H_2O_2 and this molecular mechanism may be associated with its inhibiting the activation of NF-KB / IKB signaling pathway and the up-regulating expression of bcl2 protein.

[收稿日期] 2011-04-08

[基金项目] 国家自然科学基金(30800474)资助; 湖南省科技厅项目(2008sk3072, 2010SK3037, 湘科条字[2009]130-19); 湖南省教育厅项目(09C832); 湖南省研究生创新项目(CX2010B385)资助

[作者简介] 龙石银, 副教授, 研究方向为脂蛋白与动脉粥样硬化, Email 为 longshiyin@126.com。通讯作者田英, 博士, 教授, 研究方向为脂蛋白与动脉粥样硬化, Email 为 uscty@163.com。

动脉粥样硬化 (As) 是一种慢性血管炎性病变, 血管内皮细胞凋亡是 As 发生的始动因素^[1]。氧化应激可致内皮细胞凋亡, 通过内皮细胞数量减少而使单层内皮通透性增加, 这种内皮完整性的破坏促进脂质迁移和沉积, 单核细胞和平滑肌细胞迁移至内膜, 进一步损伤血管和促进动脉粥样斑块形成^[2]。何首乌的水溶性成分二苯乙烯苷 (TSG) 具有抗氧化、降脂、抗 As 等作用, 但机制尚未明确^[3]。NF-κB / IKB 途径被认为是炎症及凋亡信号转导的关键, 其调控的基因在炎症和凋亡中起重要作用^[4-5]。因此, 本研究通过观察 TSG 对过氧化氢 (H_2O_2) 诱导人脐静脉内皮细胞 (HUVEC) 凋亡的保护作用, 从细胞分子水平探讨 TSG 抑制内皮细胞凋亡的机制。

1 材料和方法

1.1 主要试剂

HUVEC 细胞株 (编号 C-003-5C) 购自中国科学院细胞生物学研究所上海细胞库; TSG (编号 110844-200908) 为中国药品生物制品检定所产品; RPM I-1640 培养基购自美国 Gbico 公司; 胎牛血清购自杭州四季青公司; 胰蛋白酶、DM SO 购自 Amresco 公司; MTT 购自 Sigma 公司; 蛋白裂解液购自碧云天生物技术研究所; 抗 NF-κB p65、IκB、GAPDH 抗体购自博士德生物工程有限公司; 抗 bcl-2 单克隆抗体购自 CST 公司; 其余均为国产试剂 (分析纯级)。

1.2 细胞培养及分组

HUVEC 用含 10% 胎牛血清的 RPM I-1640 培养基在 37°C、5% CO_2 、95% 饱和湿度条件下培养。实验分为三组: 对照组; $\cdot H_2O_2$ 组: 以 300 $\mu\text{mol/L}$ H_2O_2 诱导内皮细胞凋亡; TSG 组: 10 $\mu\text{mol/L}$ TSG 预处理 24 h 后, 再加 300 $\mu\text{mol/L}$ H_2O_2 孵育 24 h。

1.3 MTT 检测细胞增殖活力

取对数生长期细胞, 以 1×10^7 个/L 密度接种

在 96 孔板中, 待细胞长到对数生长期后, 用无血清培养基同步 12 h, 再换新鲜培养基, 按分组要求给予不同的处理因素, 每组设 6 个平行复孔。培养 24 h 后, 每孔加 MTT 20 μL (5 g/L), 培养 4 h 后弃上清, 加 DM SO 150 $\mu\text{L}/\text{孔}$, 待紫色结晶完全溶解后, 用酶标仪在波长 490 nm 处测定吸光度值, 细胞增殖率 (%) = 试验组 OD 值 / 对照组 OD 值 × 100%。

1.4 流式细胞仪检测细胞凋亡率

TSG 处理细胞 24 h 后, 用 0.25% 胰蛋白酶消化贴壁细胞, 离心, 去上清, PBS 漂洗 2 遍, 加入冰预冷的 75% 乙醇固定, 4°C 过夜, PI 单染检测细胞凋亡率。

1.5 Western blot 检测 NF-κB p65、IκB 及 bcl-2 蛋白的表达

收集各组细胞, 用细胞裂解液裂解细胞后提取细胞总蛋白, BCA 法测定蛋白含量。每组取 60 μg 蛋白进行 SDS-PAGE 电泳分离, 转移到 PVDF 膜上, 用含 5% 牛奶的封闭液封闭 12 h, 加入 1:1000 稀释的抗 NF-κB p65、IκB、bcl-2、GAPDH 一抗, 4°C 孵育过夜, TBST 缓冲液 (0.05% Tween20 的 TBS 缓冲液) 洗膜 10 min × 3 次, 以 1:5000 稀释 HRP 标记的二抗, 室温孵育 1~2 h, TBST 洗膜 3 次, 每次 15 min, 化学发光试剂显色, 胶片显影, 扫描胶片后用凝胶图像分析系统测光密度值。

1.6 统计学方法

数据以 $\bar{x} \pm s$ 表示, 采用单因素方差分析及 t 检验, 以 $P < 0.05$ 为差异有统计学意义。

2 结 果

2.1 TSG 预处理对内皮细胞形态的影响

显微镜下, H_2O_2 组内皮细胞间隙变大, 皱缩变圆, 细胞数减少, 细胞碎片增多; 而 TSG 组与 H_2O_2 组相比细胞数目逐渐增多, 细胞形态逐渐趋于规则饱满 (图 1)。

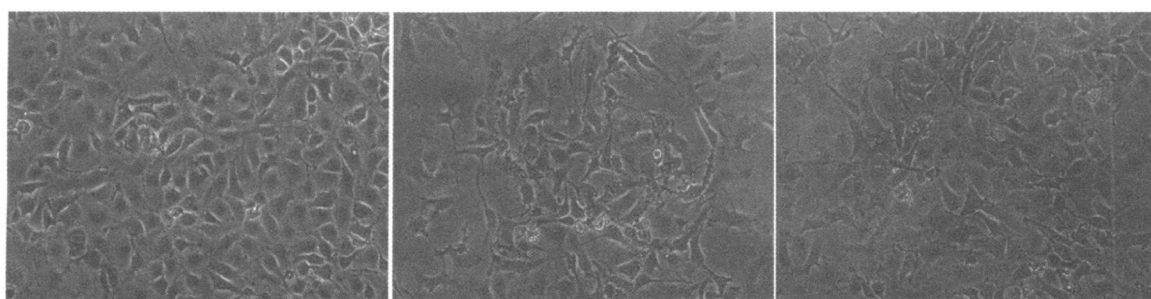


图 1. 内皮细胞形态 (×100) 从左至右分别为对照组、 H_2O_2 组、TSG 组。

Figure 1. Morphology of endothelial cell

2.2 内皮细胞增殖率

H_2O_2 组细胞增殖率与对照组比较显著下降 ($P < 0.01$), TSG 组细胞增殖率较 H_2O_2 组显著升高 ($P < 0.01$), 表明 TSG 预处理能改善 H_2O_2 对内皮细胞的损伤, 增加内皮细胞的生存率(表 1)。

表 1 TSG 对内皮细胞增殖的影响 ($\bar{x} \pm s$, $n=6$)

Table 1. Effect of TSG on endothelial cell proliferation

分组	吸光度值	细胞增殖率
对照组	0.778 ± 0.055	$100.0\% \pm 4.2\%$
H_2O_2 组	0.528 ± 0.034^a	$67.9\% \pm 3.7\%^a$
TSG 组	0.605 ± 0.036^{ab}	$77.8\% \pm 3.1\%^{ab}$

a为 $P < 0.01$, 与对照组比较; b为 $P < 0.01$, 与 H_2O_2 组比较。

2.3 内皮细胞凋亡率

H_2O_2 作用后, 内皮细胞凋亡率较对照组明显升高 ($P < 0.01$); 而 TSG 预处理后细胞凋亡率较 H_2O_2 组降低 ($P < 0.01$), 表明 TSG 能抑制 H_2O_2 诱导的内皮细胞凋亡(表 2)。

表 2. TSG 处理后内皮细胞凋亡率 ($\bar{x} \pm s$, $n=3$)

Table 2. Effect of TSG on the rate of endothelial cell apoptosis

分组	细胞凋亡率
对照组	$2.0\% \pm 0.2\%$
H_2O_2 组	$28.6\% \pm 3.5\%^a$
TSG 组	$14.9\% \pm 3.2\%^b$

a为 $P < 0.01$, 与对照组比较; b为 $P < 0.01$, 与 H_2O_2 组比较。

2.4 TSG 对 H_2O_2 诱导的内皮细胞 NF- κ B p65、I κ B、bcl-2 蛋白表达的影响

与对照组比较, H_2O_2 处理内皮细胞 24 h 后 NF- κ B p65 蛋白的表达增加, I κ B、bcl-2 蛋白的表达减少; 经 TSG 预处理后, 与 H_2O_2 组比较, TSG 可显著降低 NF- κ B p65 蛋白的表达, 升高 I κ B、bcl-2 蛋白的表达 ($P < 0.01$; 图 2 和 3)。

3 讨 论

H_2O_2 属活性氧族, 能引起血管内皮细胞损伤, 导致内皮功能障碍^[6]。内皮细胞损伤又是 As 发生发展的始动因素, 内皮细胞过度凋亡会促进 As 斑块糜烂, 继发血栓形成^[1-4], 因此, 保护血管内皮细胞和抑制内皮细胞凋亡成为防治 As 的研究热点。

TSG 抗 As 作用主要是通过改善内皮细胞功能、抑制血小板聚集和血管平滑肌细胞增殖、抑制黏附

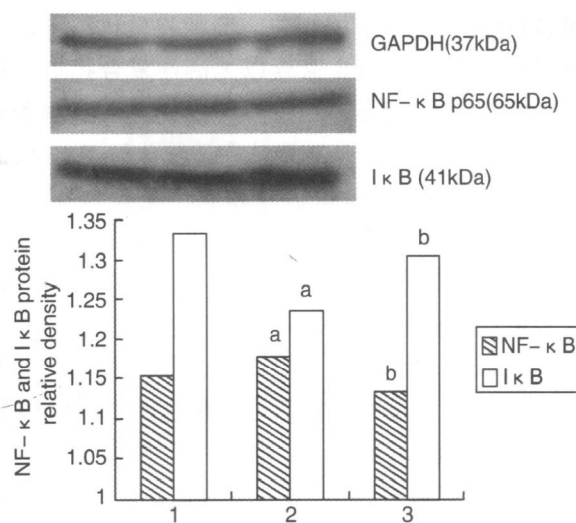


图 2. TSG 对 H_2O_2 诱导的内皮细胞 NF- κ B p65、I κ B 蛋白表达的影响 1 为对照组, 2 为 H_2O_2 组, 3 为 TSG 组。a 为 $P < 0.01$, 与对照组比较; b 为 $P < 0.01$, 与 H_2O_2 组比较。

Figure 2. Effects of TSG on NF- κ B p65 and I κ B expression of HUVEC induced by H_2O_2

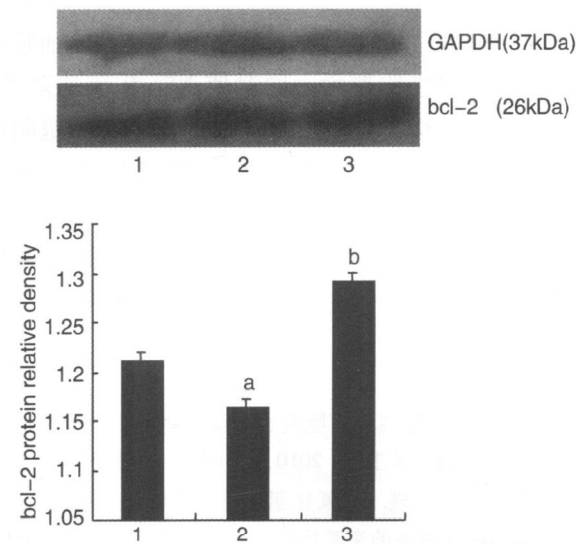


图 3. TSG 对 H_2O_2 诱导的内皮细胞 NF- κ B bcl-2 蛋白表达的影响 1 为对照组, 2 为 H_2O_2 组, 3 为 TSG 组。a 为 $P < 0.01$, 与对照组比较; b 为 $P < 0.01$, 与 H_2O_2 组比较。

Figure 3. Effects of TSG on bcl-2 expression of HUVEC induced by H_2O_2

分子和炎性分子的表达等实现^[3-5]。本课题组前期研究表明 TSG 对 H_2O_2 诱导的 HUVEC 氧化损伤具有保护作用, 可能是通过抑制 NF- κ B 活化而降低炎性因子的表达来实现^[5], 但 TSG 是否通过 NF- κ B 信号通路调节相关凋亡基因的表达来抑制细胞凋亡尚未见文献报道。NF- κ B 是具有多种基因转录调控作用的转录因子, 与炎症反应、免疫应答以及细胞的增

殖、转化和凋亡等密切相关。细胞静息状态下, NF- κ B与其抑制蛋白 I κ B家族以无活性复合物形式存在于胞浆中,当细胞受到外界因素如氧化应激等刺激时,被激活的 I κ B从三聚体中磷酸化解离出来,暴露出 p50亚基上的易位信号和 p65亚基上 DNA 结合位点,从而使此异二聚物表现出 NF- κ B活性,并从细胞质中转位到细胞核中,与 κ B基序相结合发挥转录调控作用,在 As斑块中存在明显的 NF- κ B激活和 I κ B α 的降解^[7]; bcl-2基因是一种重要的凋亡抑制基因,在细胞凋亡信号转导途径中, NF- κ B信号通路的激活可调节 bcl家族凋亡相关基因的表达,内质网应激可诱导 NF- κ B活化并伴有 bcl-2下调^[8-13]。本研究中, 300 μ mol/L H₂O₂作用 HUVEC 24 h后,能显著抑制内皮细胞增殖,促进细胞凋亡;并上调内皮细胞中 NF- κ B p65蛋白水平,同时降低 I κ B、bcl-2蛋白水平,提示在内皮细胞凋亡的过程中, H₂O₂可能通过促进 I κ B的降解,使 NF- κ B信号通路激活, NF- κ B p65活化入核,调控细胞周期蛋白的表达及抑制凋亡相关基因 bcl-2的表达,诱发细胞凋亡。TSG预处理后明显改善氧化损伤内皮细胞增殖,抑制内皮细胞凋亡。同时使 NF- κ B表达降低, bcl-2表达增多。表明在 H₂O₂诱导的内皮细胞凋亡模型中, TSG可能通过调节内皮细胞 NF- κ B/I κ B信号通路,抑制 NF- κ B活化,上调 bcl-2基因的表达而发挥抗内皮细胞凋亡作用。但 NF- κ B/I κ B通路是否能做为 TSG抗 As的靶点还有待进一步研究。

[参考文献]

- [1] 陈亚平. 血管内皮细胞凋亡与动脉粥样硬化研究进展 [J]. 中国医学工程, 2010, 18 (4): 179-180
- [2] 李立平, 韦瑛. 过氧化氢诱导血管内皮细胞凋亡与 Caspase-3表达的实验研究 [J]. 陕西医学杂志, 2009, 38 (8): 960-961
- [3] 崔慧辉, 田英, 龙石银. 二苯乙烯苷抗动脉粥样硬化的 作用和机制 [J]. 现代生物医学进展, 2009, 9 (20): 3 968-971
- [4] Trostdorf F, Landgraf G, Kablau M, et al. Increased endothelial cell apoptosis in symptomatic high-grade carotid artery stenosis: preliminary data [J]. Eur J Vasc Endovasc Surg, 2007, 33: 65-68

- [5] 龙石银, 崔慧辉, 张彩平, 等. 二苯乙烯苷对 H₂O₂诱导的人脐静脉内皮细胞核因子 κ B和肿瘤坏死因子 α 表达的影响 [J]. 中国动脉硬化杂志, 2010, 18 (17): 510-513
- [6] Cai H. Hydrogen peroxide regulation of endothelial function: Origins, mechanisms, and consequences [J]. Cardiovasc Res, 2005, 68 (1): 26-36
- [7] Chen H, Li D, Mehta JL. Modulation of atrial natriuretic peptide-1, its tissue inhibitor and nuclear factor- κ B by losartan in hypercholesterolemic rabbits [J]. J Cardiovasc Pharmacol, 2002, 39 (3): 332-339
- [8] Mertens H J, Heineman M J, Evers JL. The expression of apoptosis related proteins Bcl-2 and K δ 7 in endometrium of ovulatory menstrual cycles [J]. Gynecol Obstet Invest, 2002, 53 (4): 224-230
- [9] Ghribi O, Hemman MM. Abeta(1-42) and alum induce stress in endoplasmic reticular in rabbit hippocampus involving nuclear translocation of gad 153 and NF- κ B [J]. Brain Res Mol Brain Res, 2001, 96 (1-2): 30-38
- [10] Soares MP, Ushava A, Brouard S, et al. Modulation of endothelial cell apoptosis by heme oxygenase-1 derived carbon monoxide [J]. Antioxid Redox Signal, 2002, 4: 321-329
- [11] Motokuni Aoki, Toshiie Nata, Ryuichi Morishita, et al. Endothelial apoptosis induced by oxidative stress through activation of NF- κ B [J]. Hypertension, 2002, 38 (1): 48-55
- [12] Chen G, Chen Y, Chen H, et al. The effect of NF- κ B pathway on proliferation and apoptosis of human umbilical vein endothelial cells induced by intermittent high glucose [J]. Mol Cell Biochem, 2011, 347: 127-133
- [13] Lindsay J, Esposti M D, Gilmore AP. Bcl-2 proteins and mitochondria-Specificity in membrane targeting for death [J]. Biochim Biophys Acta, 2011, 1813 (4): 532-539

(此文编辑 文玉珊)